

# بلوک اجستمنت توأم

## عکسها و مدل‌های مستقل

نام مقاله : BLOCK ADJUSTMENT WITH PHOTOS AND INDEPENDENT MODELS

George Elio

مسعود عابدی پشتیری (کارشناس نقشه‌برداری)

نویسنده :

متوجه :

سه روش بالا کلا «همزمان» نامیده شده و ترتیب انجام محاسبات

مشابه است با استریپ اجستمنت با چند جمله‌ای که توسط G.H.Schut<sup>(۷)</sup> مورد بررسی قرار گرفته است. ابهامات و اختلاف نظرهایی در باطنی<sup>(۸)</sup> فایل‌تی هر یک از سه روش فوق بین فتوگرامتری‌ها وجود دارد. در مثالی از دستورالعمل فنی فتوگرامتری، روش سوم را دقیق‌تر و کاربردی‌تر از روش دوم می‌داند. امیدواریم در این مقاله صحت نظریات فوق روشن شود.

### مقایسه روشها

#### بلوک اجستمنت همزمان

محاسبه تمام پارامترهای مجھول با استفاده از تمام مشاهدات فتوگرامتری و تمام مختصات مشاهده شده زمینی در بلوک به طور همزمان به روش کمترین مربعات می‌باشد.

#### پارامترهای مجھول

شامل<sup>(۱)</sup> (۱) پارامترهای توجیه عکسها و یا مدل‌های مستقل؛<sup>(۲)</sup> هر نوع پارامتر اضافه شده دیگر؛<sup>(۳)</sup> مختصات زمینی نقاط فتوگرامتری و هر نقطه مجھول زمینی دیگر می‌باشد.

#### مشاهدات فتوگرامتری

شامل مختصات تصویری عکس یا مدل مستقل که عاری از هر نوع خطای سیستماتیک است. در مورد مختصات کنتrol زمینی هم مانند مشاهدات عمل می‌شود.

### چکیده

بلوک اجستمنت همزمان<sup>(۱)</sup> با ترکیبی از مشاهدات عکس و مدل امکان پذیر می‌باشد. معادلات هم خطی<sup>(۲)</sup> برای عکسها و معادلات ترانسفورماتیون مس بعدی برای مدل‌های مستقل استفاده می‌شود. مشاهدات عکس و مدل مسترکاً تشکیل یک دسته از معادلات نرمال کوچک شده<sup>(۳)</sup> را داده و برای به دست آوردن تمام پارامترهای مجھول در بلوک محاسبه به صورت یکباره انجام می‌گیرد. برای حذف خطاهای سیستماتیک در اجستمنت از پارامترهای اضافی ممکن است استفاده شود.

### مقدمه

در چند ساله اخیر برنامه‌های کامپیوتری جهت اجستمنت همزمان با بلوک‌های فتوگرامتری توسعه پیدا کرده و در کارهای اجرایی از آنها استفاده می‌شود.

اصلًا برای بلوک اجستمنت همزمان (SBA) سه روش وجود دارد.  
 (۱) اجستمنت همزمان عکسها که معمولاً اجستمنت دسته اشعه<sup>(۴)</sup> نامیده می‌شود  
 (ALBANY, BINGO, BRATS, GIANT, PAT-B);  
 (۲) اجستمنت همزمان مدل‌های مستقل با استفاده از ترانسفورماتیون مس بعدی (ALBANY, SPACE-M);  
 (۳) اجستمنت همزمان مدل‌های مستقل با استفاده از ترانسفورماتیون متوالی و جداگانه مسطحاتی وارتفاعی (PAT - M43, SIMBA).

نخواهند بود.

### قابلیت پرسی و ارزیابی داده‌ها

اخيراً مقالات متعددی در رابطه با استفاده از پارامترهای اضافی در مثلف بندی هوابی نوشته شده است. اما تو تکنیک پرسی و ارزیابی داده‌ها برای کشف خطاها در محیط‌های دانشگاهی نسبت به روشهای جاری در دنیا مؤثرتر به نظر می‌رسد.

با اینکه پرسی و ارزیابی داده‌ها در حل خطاها مؤثر هستند، ممکن است در فرآیند پردازش اولیه در نظر گرفته نشوند. ولیکن موقعي که نتیجه محاسبات خوبی بد است از ارزیابی داده‌ها به جای پردازش اولیه استفاده می‌شود.

مکان واقعی برای کشف و حذف اشتباهات و خطاها در یک بلوک فنوتگرامتری قبل از بلوک اجستمنت همزمان است نه بعد از آن.

### دقهای نسبی

با درنظر گرفتن شرایط ذیل نصیر می‌شود که دقهای بیشتری در روش خاص SBA برای دسته‌ای از مختصات زمینی در ارتباط با دسته‌ای از مشاهدات فنوتگرامتری به دست آید.

(I) رابطه زمین با مشاهدات، با یک مدل ریاضی واقعی و مستقیم قابل دسترس باشد؛

(II) از تمام مشاهدات برای محاسبه تمام پارامترهای مجهول در معادلات مشاهدات بلوک استفاده شود؛

(III) مشاهدات عاری از خطاها سیستماتیک باشد، یا برای حذف خطاها سیستماتیک در اجستمنت، پارامترهای اضافی در نظر گرفته شده باشد.

فرض کنید که شرط III بقرار است و هدف مثلث بندی هوابی کاملاً تحلیلی باشد، روش ۱ به علت داشتن شرط (I) دقیق‌تر از روش ۲ خواهد بود. توجیه نسبی تحلیلی نیاز به ایجاد مدل‌های مستقل دارد که عملأ قسمی از مدل ریاضی مرتبط زمین به مشاهدات کامپاراتور است. روش ۱ به علت داشتن شرط‌های ۱ و ۲ دقیق‌تر از روش ۳ خواهد بود. به خاطر بیاورید که در روش ۳ از تمام مشاهدات یا حل تمام پارامترهای مجهول در یک دسته از معادلات نرمال استفاده نمی‌شود.

و فرض هدف مثلث بندی تحلیلی ۵ است، روش ۲ به علت داشتن شرط II دقیق‌تر از روش ۳ خواهد بود زیرا روش ۲ همزمانتر از روش ۳ است. البته این مسئله زمانی درست است که از مدل‌های مستقل تحلیلی استفاده کنیم. با فرض این که مشاهدات فنوتگرامتری فقط حاوی خطاهاي اتفاقی باشند سه روش SBA از نظر دقیق‌تر به ترتیب عبارت هستند از:

(۱) روش باندل اجستمنت؛

(۲) روش ترانسفورماتیون سه بُعدی مدل مستقل؛

(۳) روش تکرار مسطح‌دانی اتفاقی مدل مستقل.

در روش ۱ باندل اجستمنت رابطه زمین با عکسها توسعه معادلات هم خطی برقار می‌شود. تمام معادلات مشاهدات مشترکاً یک دسته از معادلات نرمال کوچک شده را تشکیل می‌دهند که همزمان برای به دست آوردن پارامترهای توجیه هر عکس در بلوک یا برای هر پارامتر اضافی دیگر محاسبه می‌شوند.

در روش ۲ رابطه زمین با مدل‌های مستقل به وسیله ترانسفورماتیون سه بعدی مشابه خطی برقار می‌شود که معروف به ترانسفورماتیون سه بعدی مدل‌های مستقل است. در روش ۲ تمام معادلات مشاهدات یک دسته از معادلات نرمال کوچک شده را تشکیل می‌دهند. محاسبه این معادلات پارامترهای توجیه تمام مدل‌های مستقل وسیله هر پارامتر اضافی دیگر را در بلوک می‌دهد.

در روش ۳ رابطه زمین با مدل‌های مستقل با سه نوع معادله مختلف برقرار می‌شود.

(۱) معادلات مشاهدات مختصات دستگاهی (y,x,z) مدل و نقاط زمینی نظیر آن؛

(۲) معادلات مشاهدات مختصات دستگاهی (z,y,x) مدل و نقاط زمینی نظیر آن؛

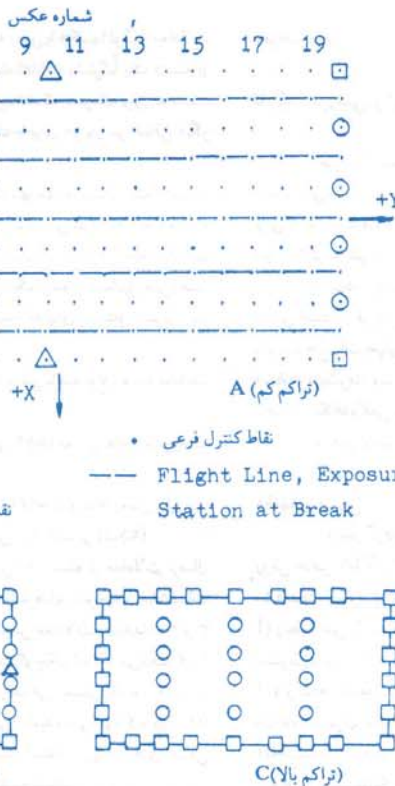
(۳) معادلات مشاهدات مختصات دستگاهی مرکز تصویر (x,y,z)

تمام معادلات مشاهدات ۱ تشکیل یک دسته از معادلات نرمال کوچک شده را می‌دهند که با حل آنها پارامترهای توجیه و مختصات مسطوحانی زمینی نقاط به دست می‌آیند. سهین معادلات مشاهدات ۲ و ۳ مشترکاً تشکیل یک دسته از معادلات نرمال کوچک شده را می‌دهند که با حل آنها پارامترهای توجیه و مختصات ارتفاعی زمینی نقاط به دست می‌آیند. این روش تکرار مسطوحانی ارتفاعی نامیده می‌شود که در؛ (۲)؛ (۳)؛ Ackermann مورد بررسی قرار گرفته است. استفاده از پارامترهای اضافی در این روش توسعه Ebner؛ (۴)؛ بررسی شده است.

**نقش پارامترهای اضافی در بلوک اجستمنت همزمان**  
تأثیر استفاده از پارامترهای اضافی در ارتباط با بلوک اجستمنت همزمان مورد بحث و بررسی محققان مختلف قرار گرفته است. نتیجه نهایی بیانگر این است که استفاده از پارامترهای اضافی باعث افزایش دقیق‌تر بود. اهمیت این مسئله بیشتر در روش ۳ مطرح است. توشه است:

**«با پارامترهای اضافی می‌توان خطاهاي سیستماتیک مختصات مدل را که جزو لاینک آن می‌باشد تصحیح کرده و نهایتاً خطاهاي که باقی می‌مانند خطاهاي اتفاقی محسوب می‌شوند».**

یکن از مزایای استفاده از پارامترهای اضافی بهبود خطاهاي سیستماتیک در بلوک و یا شناسایی و کاهش خطاهاي سیستماتیک عکسها و مدل‌های مستقل می‌باشد. در غیراین صورت، هرچند خطاها از نظر جهت و اندازه ممکن است سیستماتیک باشند اما از نظر وقوع، دیگر سیستماتیک



نگاره (۱) ترکیب نقاط کنترل در بلوک ISP  
 ۱۰۰ عکس در ۵ استریپ شامل ۳۰ عکس در هر استریپ با ۶۰٪ پوشش طولی و ۲۰٪ پوشش عرضی و ارتفاع پرداز M، ارتفاع متوسط منطقه M،  
 مقیاس عکس (۱:۶۶۰۰۰)

تفاوت RMSE سطحهای و ارتفاعی نقاط چک (به متر) در بلوک PAT M-43  
 \* بیانگر تعداد مساوی تعداد چک به کارگرفته شده به وسیله @ توسط Marks؛ (۶) گزارش شده است.

**اصول ریاضی**  
 عملیات ریاضی ذیل در ارتباط با اجستمنت همزمان عکسها و مدلها مستقل در یک بلوک با استفاده از تمام مشاهدات عکسها و مدلها و تشکیل یک دسته از معادلات نرمال کوچک شده برای محاسبه تمام پارامترهای توجیه و پارامترهای اضافی و مختصات برای تمام نقاط زمینی می‌باشد.

معادله اصلی در اجستمنت معادله ترانسفورماتیون سه بعدی است. معادله هم خطی حالت ویژه ای از معادله ترانسفورماتیون سه بعدی می‌باشد.

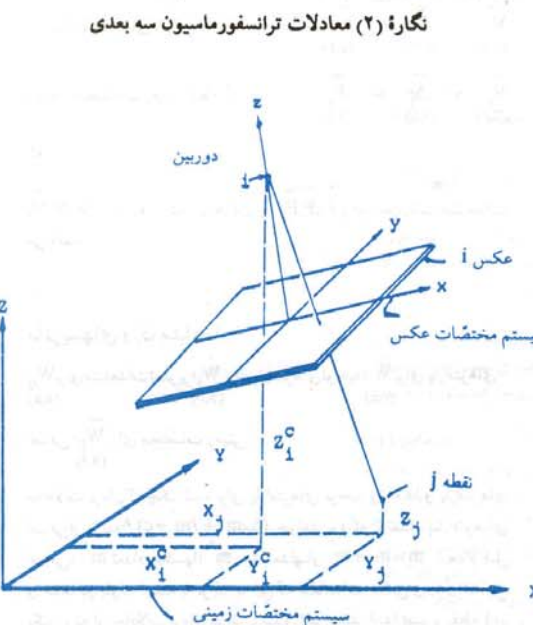
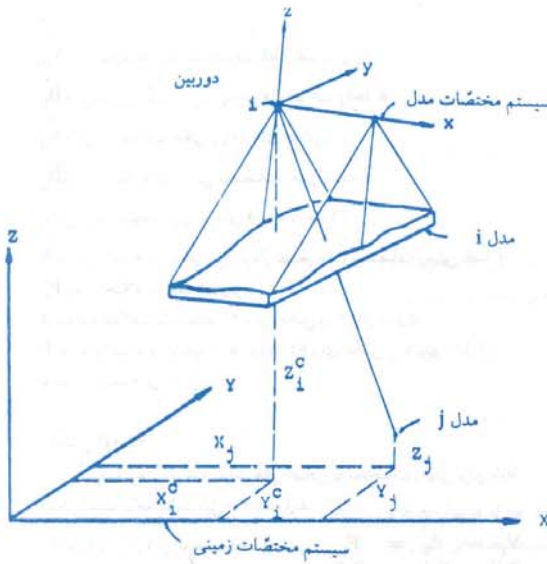
رابطه مختصات زمینی و مختصات مدل به وسیله معادلات ترانسفورماتیون سه بعدی عبارت است از:

تست بلوک ISP  
 داده‌های مندرج در جدول ۱ نتایج سه روش SBA می‌باشد که در تست بلوک ISP مورد بررسی قرار گرفته است. Anderson (۳)، و در نگاره ۱ نمایش داده شده است. این یک بلوک ۱۰۰ عکس از داده‌های قتوگرامتری است.

حالهای تست شده ۱A, ۱B, ۱C می‌باشند. مختصات عکس حاوی انحرافات افقی و خطای استاندارد ۶ میکرومتر می‌باشد. همچنین هیچ خطای سیستماتیکی در مختصات عکسی وجود ندارد. نتایج روشهای mxy و ۳ از مقاله Anderson گرفته شده است. بجز برای دقت حاصله در حالت ۱A این نتایج دقت‌های گزارش شده را اثبات می‌کند.

روش بلوک اجستمنت	1A		1B		1C	
	تراکم mty	mz	تراکم متوسط mxy	mz	تراکم بالا mxy	mz
Bundle(DBA, Inc.)	1.14	2.70	0.74	1.66	0.51	0.78
3-D IM.(ALBANY)	1.47	3.36	0.91	1.80	0.78	1.00
Plan-Height LM. (PAT M-43)	1.42*					
	1.34	4.73	1.09	1.82	0.95	1.18
			2.66@			

جدول (۱)



$$\begin{bmatrix} x-dx \\ y-dy \\ z-dz \end{bmatrix}_{ij} = S_i M_i \begin{bmatrix} X_j - X_i^c \\ Y_j - Y_i^c \\ Z_j - Z_i^c \end{bmatrix} \quad (1)$$

که  $X_{ij}, Y_{ij}, Z_{ij}$  مختصات نقطه  $j$  در مدل آبا فرض این که مبدأ مختصات در مرکز مدل باشد.  
 $dX_{ij}, dY_{ij}, dZ_{ij}$  بیانگر دیستورسیون نقطه  $j$  به واسطه پارامترهای اضافی،  
 $M_i$  مقیاس مدل مستقل از ماتریس دورانی متعدد برای مدل مستقل  $i$  می‌باشد.

$$M_i = \begin{bmatrix} \cos\phi \cos\theta & \sin\phi \cos\theta & -\sin\theta \\ -\cos\phi \sin\theta & \sin\phi \sin\theta & \cos\theta \\ \sin\phi & -\cos\phi & 0 \end{bmatrix} \quad (2)$$

$X_i^c, Y_i^c, Z_i^c$  مختصات زمینی نقطه  $j$  و  $X_j^c, Y_j^c, Z_j^c$  فاکتورهای انتقال مدل مستقل  $i$  می‌باشند. (به نگاره ۲ رجوع شود). رابطه مختصات زمینی و مختصات عکس به وسیله معادلات هم خطی عبارت است از:

$$\begin{aligned} (x-dx)_{ij} &= -f_i \frac{U_{ij}}{W_{ij}} \\ (y-dy)_{ij} &= -f_i \frac{V_{ij}}{W_{ij}} \end{aligned} \quad (3)$$

چنان که:

$$\begin{bmatrix} U \\ V \\ W \end{bmatrix} = M_i \begin{bmatrix} X_j - X_i^c \\ Y_j - Y_i^c \\ Z_j - Z_i^c \end{bmatrix} \quad (4)$$

و  $X_{ij}, Y_{ij}$  مختصات نقطه  $j$  در عکس آبا فرض این که مبدأ مختصات در نقطه اصلی  $i$  باشد.  
 $dX_{ij}, dy_{ij}$  بیانگر دیستورسیون نقطه  $j$  به واسطه پارامترهای اضافی  $M_i$  از ماتریس دورانی متعدد عکس آکه به وسیله معادله ۲ تعریف شده است.  
 $Z_j, X_j^c, Y_j^c, Z_i^c$  مختصات زمینی نقطه  $j$  و  $X_i^c, Y_i^c, Z_i^c$  مختصات زمینی در عکس آمی باشد. (به نگاره ۳ رجوع شود). فرم خطی شده معادلات ترانسفورماسیون سه بعدی ۱ یا معادلات هم خطی ۳ به صورت ماتریسی عبارت است از:

$$\sum_{(a,1)} V_{ij} + \sum_{(a,b)} B_{ij}^a \Delta_i^a + \sum_{(b,1)} \bar{B}_{ij} \bar{\Delta} + \sum_{(a,c)} \tilde{B}_{ij} \tilde{\Delta}_i + F_{ij} = 0 \quad (5)$$



تمام معادلات نرمال برای تصویر  $\bar{z}_j$  در ماتریسهای  $N_{ij}$  و  $C_{ij}$  شرکت دارند.

$$(الف) \quad N_{ij} = B_{ij}^T W_{ij} B_{ij} = \begin{bmatrix} (\overset{\circ}{B}^T W \overset{\circ}{B})_{ij} & | & (\overset{\circ}{B}^T W \overset{\circ}{B})_{ij} & | & (\overset{\circ}{B}^T W \overset{\circ}{B})_{ij} \\ (\overset{(b,b)}{B}^T W \overset{(b,c)}{B})_{ij} & | & (\overset{(b,c)}{B}^T W \overset{(b,3)}{B})_{ij} & | & (\overset{(b,3)}{B}^T W \overset{(b,3)}{B})_{ij} \\ (\overset{(c,b)}{B}^T W \overset{(c,c)}{B})_{ij} & | & (\overset{(c,c)}{B}^T W \overset{(c,3)}{B})_{ij} & | & (\overset{(c,3)}{B}^T W \overset{(c,3)}{B})_{ij} \\ (\overset{(3,b)}{B}^T W \overset{(3,c)}{B})_{ij} & | & (\overset{(3,c)}{B}^T W \overset{(3,3)}{B})_{ij} & | & (\overset{(3,3)}{B}^T W \overset{(3,3)}{B})_{ij} \end{bmatrix}$$

$$(ب) \quad C_{ij} = -B_{ij}^T W_{ij} F_{ij} = \begin{bmatrix} (\overset{\circ}{B}^T W \overset{(b,1)}{F})_{ij} \\ (\overset{(b,1)}{B}^T W \overset{(c,1)}{F})_{ij} \\ (\overset{(c,1)}{B}^T W \overset{(3,1)}{F})_{ij} \end{bmatrix}$$

اگر تصویر نقطه  $\bar{z}_j$  در عکس  $i=1$  و در مدل  $k=1$  باشد معادلات نرمال کوچک شده برای نقطه  $\bar{z}_j$  متناسب (رجوع کنید به نگاره ۳). در زیر بلوک موجود در قطر ماتریس اصلی برای عکس ۱ عبارت است از:

(الف)

$$(6,6) \quad [S_{ll}]_j = (\overset{\circ}{B}^T W \overset{\circ}{B})_{lj} - (\overset{\circ}{B}^T W \overset{\circ}{B})_{lj} P_j (\overset{\circ}{B}^T W \overset{\circ}{B})_{lj}$$

و زیر بلوک مربوط به مدل  $k$  عبارت است از:

$$(7,7) \quad [S_{kk}]_j = (\overset{\circ}{B}^T W \overset{\circ}{B})_{kj} - (\overset{\circ}{B}^T W \overset{\circ}{B})_{kj} P_j (\overset{\circ}{B}^T W \overset{\circ}{B})_{kj}$$

برای زیر بلوک بالا مثلاً  $l,k$

$$(6,7) \quad [S_{lk}]_j = -(\overset{\circ}{B}^T W \overset{\circ}{B})_{lj} P_j (\overset{\circ}{B}^T W \overset{\circ}{B})_{kj}$$

برای بلوک قطری پارامترهای اضافی،

$$(c,c) \quad [S_{pp}]_j = \sum_{i=k}^l (\overset{\circ}{B}^T W \overset{\circ}{B})_{ij} - \sum_{i=k}^l (\overset{\circ}{B}^T W \overset{\circ}{B})_{ij} P_j \sum_{i=k}^l (\overset{\circ}{B}^T W \overset{\circ}{B})_{ij}$$

برای زیر بلوک بالا مثلاً  $l,P$

$$(6,c) \quad [S_{lp}]_j = (\overset{\circ}{B}^T W \overset{\circ}{B})_{lj} - (\overset{\circ}{B}^T W \overset{\circ}{B})_{lj} P_j \sum_{i=k}^l (\overset{\circ}{B}^T W \overset{\circ}{B})_{ij}$$

که بدون در نظر گرفتن مشاهدات مختصات نقاط زمینی،

$$(9) \quad P_j = \left[ \sum_{i=k}^l (\overset{\circ}{B}^T W \overset{\circ}{B})_{ij} \right]^{-1}$$

که:  $\bar{z}_j$  بردار باقیماندهای مشاهدات نقطه تصویری  $\bar{z}_j$

$\bar{z}_j$  ماتریس مشتقات جزئی پارامترهای توجیه واحد آ;

$\bar{B}_{ij}$  ماتریس ضرائب خطی پارامترهای اضافی؛

$\bar{B}_{ij}$  ماتریس مشتقات جزئی مختصات زمینی نقطه  $j$

$\Delta$  بردار تصحیحات پارامترهای توجیه واحد آ؛

$\Delta$  بردار پارامترهای اضافی؛  $\bar{\Delta}$  بردار تصحیحات مختصات زمینی نقطه  $j$

$F_{ij}$  بردار اختلافات نقطه تصویر؛

a تعداد معادلات مشاهدات (۲ برای عکس و ۳ برای مدل)؛

b تعداد پارامترهای توجیه در هر واحد (۶ برای عکس و ۷ برای مدل)؛

c تعداد پارامترهای اضافی.

## مقادیر اولیه<sup>۷</sup>

پارامترهای توجیه پارامترهای اضافی با مختصات زمینی برای نقاط

ممکن است از معادلات ذیل به دست آیند.

$$(6\text{ الف}) \quad V_i - \Delta_{(b,1)} = F_{(b,1)}$$

$$(6\text{ ب}) \quad V - \Delta = F$$

$$(6\text{ ج}) \quad \tilde{V}_j - \tilde{\Delta}_j = \tilde{F}_j$$

که:

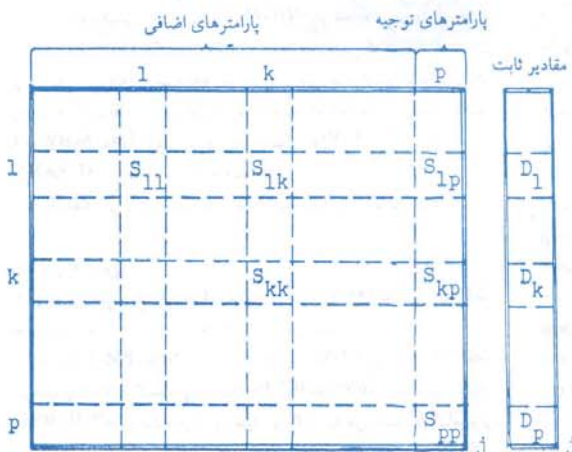
$V_i$ ,  $V$ ,  $\tilde{V}_j$  بردار باقیمانده مشاهدات و  $F_{(b,1)}$ ,  $F$ ,  $\tilde{F}_j$  بردار اختلافات مشاهدات می‌باشند.

## ماتریسهای وزن مشاهدات

$W_{ij}$  برای مشاهدات تصویر؛  $\bar{W}_{ij}$  برای پارامترهای توجیه؛  $\bar{W}_{ij}$  برای پارامترهای اضافی؛  $\tilde{W}_{ij}$  برای مختصات زمینی.

معادلات نرمال کوچک شده برای پارامترهای توجیه واحدها و پارامترهای اضافی از مرتبه  $(6m+7m+c)$  خواهد بود که  $c$  تعداد پارامترهای اضافی؛  $m$  تعداد دملهای  $m=m+m$  تعداد کل واحدها در بلوک است. با توجه به این که مشاهدات عکس و مدل تشکیل یک دسته از معادلات نرمال کوچک شده را می‌دهند. ابتدا تصویر نقطه  $\bar{z}_j$  واحد آرا در نظر می‌گیریم.

$$B_{ij} = [B_{ij} : \bar{B}_{ij} : \tilde{B}_{ij}]$$



نگاره (۴) بافت ماتریسی معادلات  
نرمال کوچک شده برای نقطه j در  
عکس  $i=j$  و مدل  $j=k$

مقدار ثابت معادلات نرمال کوچک شده برای نقطه j عبارت است از:

$$[D_j]_j = (-B^T W F)_{ij} - (B^T W B)_{ij} P_j \sum_{i=k}^T (-B^T W F)_{ij} \quad (4)$$

$$[D_p]_j = \sum_{i=1}^T (-B^T W F)_{ij} - \sum_{i=k}^T (B^T W B)_{ij} P_j \sum_{i=k}^T (-B^T W F)_{ij} \quad (5)$$

(۴) مختصات تصویری عکس و مدل به صورت صعودی یا نزولی مرتب  
می‌شوند طوری که تمام تصاویر یک نقطه در کنار یکدیگر قرار گیرند. مراحل

۵-۷ ممکن است با یک بار تکرار انجام شود.

(۵) ضرایب معادلات خطی شده شده (۵) برای یک نقطه در یک زمان محاسبه  
می‌شود.

(۶) معادلات نرمال کوچک شده با روش Gauss-Cholesky حل شده و با  
روش جایگذاری از انتها<sup>۱۰</sup> مقدار تصویرات پارامترهای توجیه برای تمام  
واحدها در بلوك و پارامترهای اضافی به دست می‌آیند.

(۷) مقدار تصویرات مختصات زمینی محاسبه می‌شوند.

(۸) انحراف استاندارد واحد وزن (SDUW) (اضافی و چاب می‌شود).

(۹) همچنین محاسبه از نظر همگرایی تست می‌شود.

(۱۰) تمام باقیمانده‌های مختصات تصویری و یا فقط آنها که ۳ برابر بزرگتر  
SDUW است چاب می‌شود.

(۱۱) مختصات نقاط کنترل زمینی با مقدار تقاطع<sup>۱۱</sup> مقایسه شده و  
باقیمانده‌های تقاطع به همراه مقادیر باقیمانده‌های کمترین مربعات چاب  
می‌شود.

(۱۲) مختصات نقاط چک با مقدار محاسبه شده مقایسه و باقیمانده‌های  
مربوطه چاب می‌گردند.

(۱۳) در انتهای پارامترهای توجیه نهایی و پارامترهای اضافی محاسبه شده،  
سپس با تقاطع مختصات زمینی هر تعداد از نقاط تصویری موجود محاسبه  
می‌شود.

حجم بلوك و ظرفیت برنامه  
ALBANY سرشکنی بلوک‌های با حجم نامحدود (غلاف ۴۰۰۰ عکس) را در  
کامپیوترهای PRIME, DEC VAX و DATA GENERAL و

دوره پنجم، شماره هجدهم / ۶۳

### برنامه کامپیوتري ALBANY

اجستمنت همزمان عکسها و مدلها در برنامه کامپیوتري به نام  
ALBANY<sup>۱۲</sup> انجام می‌شود، که بیانگر سریشکنی هر نوع بلوك بزرگ با هر  
تعداد از عکسها، نقاط و تصاویر با استفاده از داده‌های هر نوع دستگاه  
اندازه‌گیری و پردازش در هر کامپیوتر می‌باشد. زمانی که اولین مقاله توسعه  
Erio<sup>۱۳</sup> (۱۹۸۷) ارائه شد ALBANY فقط توانایی انجام SBA برای عکسها  
یا مدلها را داشت، در نسخه جدید ALBANY توانایی سریشکنی توان  
عکسها و مدلهاي مستقل در یک بلوك را دارد.

### طرح برنامه

مراحل ۱-۴ برای یک مرتبه در بلوك اجستمنت بکار برد می‌شود.

(۱) مقدار اویله پارامترهای توجیه برای تمام واحدها (عکسها و مدلها) در  
برنامه وارد می‌شوند.

(۲) خطای استاندارد نقاط تصویر، نقاط مدل و مراکز تصویر برای یک بار  
استریپ به استریپ یا واحد به واحد در بلوك وارد می‌شوند.

(۳) مختصات نقاط کنترل زمینی و خطای استاندارد تخمینی آنها وارد  
می‌شوند.

## منابع

- 1) F. Ackermann, "Results of Recent Tests in Aerial Triangulation", Photogrammetric Engineering, 41:1, January 1975.
- 2) F. Ackermann, H. Ebner, H. Klein. "Block Triangulation with Independent Models", Photogrammetric Engineering, 39:9, September 1973.
- 3) J. Anderson, E. Ramey, "Analytic Block Adjustment Final Summery Report of the ISP Commission III Working Group 1968-1972", Photogrammetric Engineering, 39:10, october 1973.
- 4) H. Ebner, "Selfcalibrating Block Adjustment by Independent Models", presented to the 41-st Annual Convention of the American Society of Photogrammetry, Washington, D.C., March 1975.
- 5) G. Erio, "Three-Dimensional Transformations of Independent Models". photogrammetric Engineering, 41:9, September 1975.
- 6) G. Marks, E. Mikhail, "Experimental Results from Block Triangulation by Bundles, Pairs and Triplets", Bildmessung und Luftbildwesen, Special English Edition, 1975.
- 7) Manual of Photogrammetry, Fourth Edition, Chapter IX, pages 492-494, published by the American Society of Photogrammetry.

## پاورقی

- 1) Simultaneous block adjustment (SBA)
- 2) Collinearity equation
- 3) Reduced normal equation
- 4) Bundle adjustment
- 5) Semi-analytical
- 6) Principal-Point
- 7) Priori values
- 8) Rank
- 9) Adjustment of Large Block with ANY number of Photos, Points and images, using data from ANY measuring instrument and Processed on any computer
- 10) Back substitution
- 11) Intersected values
- 12) Bandwidth
- 13) RAM disk
- 14) Cache memory

کامپیوترهای سازگار با IBM PC-XT/AT/386/486 انجام می‌دهد. عامل محدود کننده نقطه عرض باند (BW) در معادلات نرمال است که در حال حاضر ۱۲۰ عکس می‌باشد. با توجه به روشی که در حل معادلات نرمال به کار گرفته می‌شود فقط دو بلوك از ضرائب ماتریس نرمال در یک زمان در حافظه ذخیره می‌شود. یک بلوك حافظه برای یک عکس نرمال استفاده می‌کند، در نتیجه از حافظه اصلی برای ذخیره ضرائب ماتریس ALBANY نرمال استفاده می‌کند، در نتیجه از حافظه سخت دیسک کاسته می‌شود.

## زمان پردازش

زمانهای پردازش ذیل برای بلوك شامل ۸۴ عکس و ۲۹۴ نقطه و ۹۵۱ نقطه در کامپیوتر و عرض باند ۱۸ با یک بار تکرار می‌باشد.  
 در کامپیوتر (IBM PC/AT) (Sازگار با NEC PM-1) با پردازنده 80286 و سرعت  $2 \times 8\text{MHz}$  و کمک پردازنده-16 و سخت دیسک سرعت اجرا ۱۲ دقیقه و ۳۰ ثانیه می‌باشد. در کامپیوتر (IBM PC/386) با پردازنده 80386 و سرعت  $2 \times 16\text{MHz}$  و کمک پردازنده-16 و سخت دیسک سرعت اجرا ۵ دقیقه و ۵ ثانیه می‌باشد. وقتیکه برنامه از رام دیسک  $13 \times$  اجرا شود زمان ۳ دقیقه و ۲۶ ثانیه خواهد شد.  
 در کامپیوتر (IBM PC/25) با کاشه حافظه  $12 \times$  زمان اجرا در رام دیسک  $44 \times$  ثانیه می‌باشد.

## نتایج

در مثلث بندی کاملاً تحلیلی باندل اجستمنت دقیقترين روش SBA می‌باشد. و در مثلث بندی نیمه تحلیلی ترانسفورماتیون سه بعدی مدلهاي مستقل دقیقترين روش بلوك اجستمنت است. ترکیب این دو روش در یک برنامه کامپیوتري بهترین روش بلوك اجستمنت در فتوگرامتری می‌باشد.

محاسبات مربوط به ترانسفورماتیون سه بعدی مدلهاي مستقل کننتر از روش تکرار پلائیمتری - ارتفاعی نیست. در برنامه های محاسباتی تکنیکهای پردازش داده های رزگرین نقش را در کاهش زمان اجرا یک برنامه آیفای می کنند نه الگوریتمهای ریاضی.

یا شایستگی یک برنامه کامپیوتري منحصر به دقت یا الگوریتم ریاضی آن نیست، بلکه فاکتورهای مهم دیگری از جمله ارتباط با کاربر، سهولت در کشف خطاهای و سرعت اجرا نقش بسزایی دارند. همچنین سرعت یک برنامه کامپیوتري تابعی از مهارت برنامهنویس است تا ریاضیات آن. □

